

## 第1章 冷凍サイクル制御とは

冷凍サイクルの制御を実行するに当たり、まず必要になるものが図1.1.1の冷媒回路系統図と図1.1.2のモリエ線図である。冷媒回路全体を見回しながら、各要素デバイスの入口・出口を確認し、図1.1.2のモリエ線図とマッチングさせることからスタートする。

### 1.1 制御アクチュエータと制御目的

図1.1.1に示すシンプルな冷媒回路を例にとり、制御アクチュエータと制御目的の説明をする。

アクチュエータは4つある。インバータ圧縮機の回転数 $N_{comp}$ と膨張弁の開口面積 $S_b$ と凝縮器の送風機回転数 $N_c$ と蒸発器の送風機回転数 $N_e$ である。

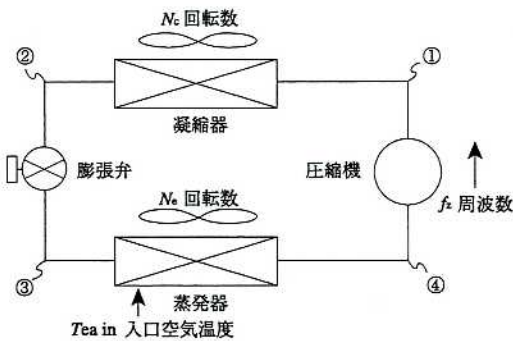


図1.1.1 冷媒回路系統図

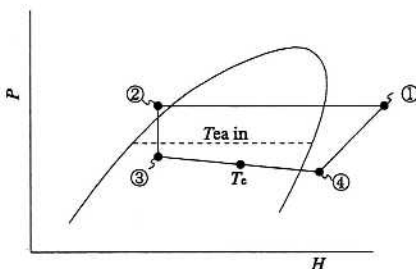


図1.1.2 モリエ線図

#### 1.1.1 アクチュエータとしての圧縮機

ロータリー圧縮機、スクロール圧縮機などの容積型蒸気圧縮機は、単位時間あたり一定容積のガス（蒸気）を吸い込んで吐き出すものである。内容積をストロークボリュウム $V_{st}$  (cm<sup>3</sup>) といい、単位時間あたりの押しつけ量のことを理論ピストン押しつけ量 $V_p$  (m<sup>3</sup>/h) という。

$$V_p = V_{st} \times N_{comp} \times 3600 \times \frac{1}{10^6} \quad (1.1.1)$$

$V_{st}$  : ストロークボリュウム (cm<sup>3</sup>)

$N_{comp}$  : (回転/秒) = (ヘルツ)

$V_p$  : 理論ピストン押しつけ量 (m<sup>3</sup>/h)

これを質量に直すと循環流量 $G$  (kg/h) になる。

$$G = V_p \times \frac{1}{v_g} \times \eta_v \quad (1.1.2)$$

$v_g$  : 吸入冷媒ガスの比容積 (m<sup>3</sup>/kg)

$\eta_v$  : 体積効率 (約0.8~0.9程度) (-)

冷媒循環流量は、理論ピストン押しつけ量に比例し、吸入冷媒ガスの比容積に反比例し、体積効率 $\eta_v$ に比例する。

このうち、制御可能なものが周波数 $f_z$ である。正確にいうなら圧縮機の回転数である。DCモータ搭載の圧縮機ならば、周波数=回転数であるが、誘導電動機では磁界の周波数 $f_z$ とロータの回転数 $N_{comp}$ の間にスリップ比 $s$ があり、図1.1.3~図1.1.8に示すようにに負荷トルクに応じてスリップ比 $s$ が異なる。

$$N_{comp} = (1-s) \cdot f_z \quad (1.1.3)$$

$N_{comp}$  : 実回転数 (回/秒)

$s$  : スリップ比 (約0.03)

$f_z$  : 磁界周波数 (ヘルツ)

冷媒ガスの比容積 $v_g$  (m<sup>3</sup>/kg) はモリエ線図

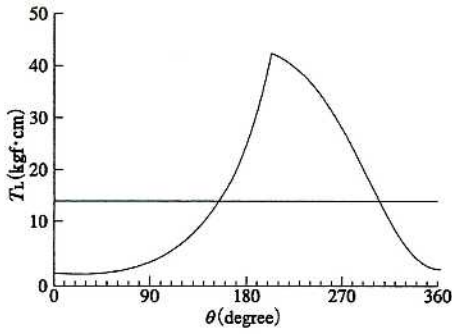


図1.1.3 負荷トルク<sup>1)</sup>

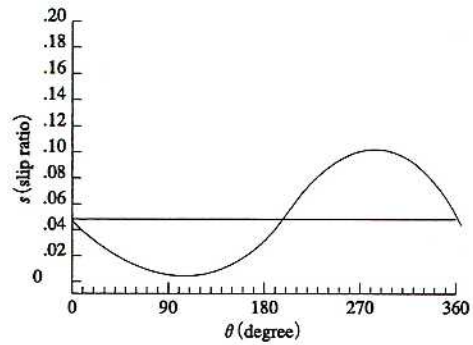


図1.1.6 スリップ比s

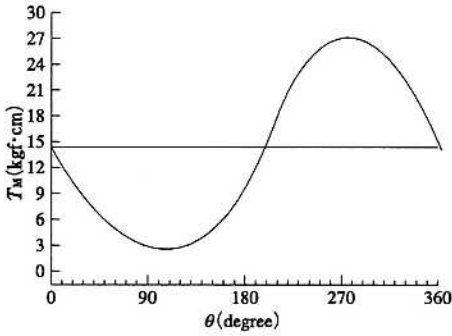


図1.1.4 モータトルク

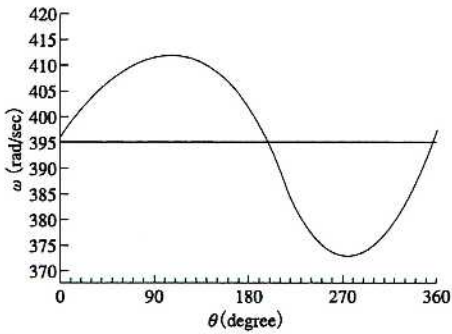


図1.1.5 回転速度 $\omega$  (rad/sec)

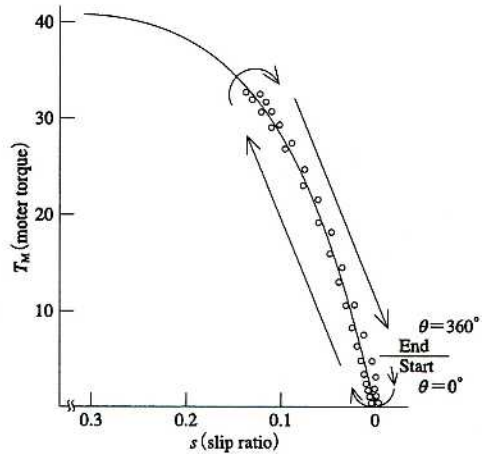


図1.1.7 モータトルク $T_M$ とスリップ比

より、圧力 $P$ が高いと小さくなり、温度 $T$ が低いと小さくなる (図1.1.9)。つまり循環流量 $G$ は、低圧圧力が高く、吸込ガス冷媒温度が低いと増加することになる。これらのモリエ線図上の物性値は、他のアクチュエータである膨張弁、送風機と外気・室内の温度条件によっても影響を受ける。

最後の体積効率 $\eta_v$ は、圧縮比 $\gamma = P_1/P_4$ の関数として図1.1.10のように表わされ、圧縮比が大きくなると漏れが増加し、体積効率が悪くなる。これは、高圧 $P_1$ と低圧 $P_4$ を決定づける空気条件、熱交換器の性能、および圧縮機そのものの漏れ性能に依存する。冷凍サイクル制御でできることは、なるべく高圧 $P_1$ は低く、低圧 $P_4$ は高く運転することになる。

具体例として、ロータリー圧縮機の1回転中のスリップ比の変動<sup>1)</sup>を示す。図1.1.3は負荷トルク $T_L$  (kgf·cm)で、平均負荷トルク $\bar{T}_L = 14.5$  kgf·cmに対し、回転角 $\theta$ が $180^\circ$ 近辺から急増している。

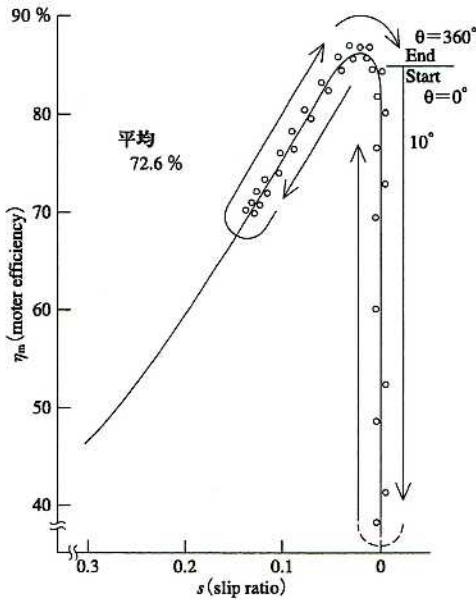


図1.1.8 モータ効率 $\eta_m$ とスリップ比

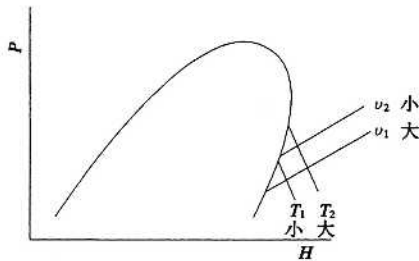


図1.1.9 比容積

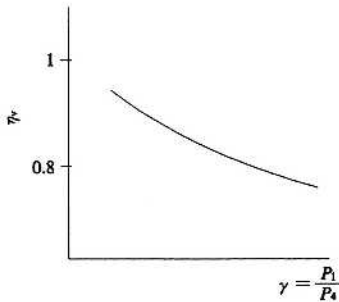


図1.1.10 体積効率

一方、モータの発生トルクは図1.1.4のように平均値 $\bar{T}_M$ (kgf·cm)は同じ14.5 kgf·cmであるが、サインカーブを描いている。その結果、回転速度 $\omega$ (rad/sec)は図1.1.5のように最初は加速され、後半で減速されている。

この結果をモータの特性曲線 $T_M-s$ 図で示すと図1.1.7のように1回転中のスリップ比を追跡できる。この時のモータ効率 $\eta_m$ -スリップ比 $s$ 曲線は図1.1.8のようになり、平均のモータ効率 $\eta_m$ は0.726となっている。

図1.1.11の横軸 $H$ はエンタルピー (kJ/kg)で、冷媒1 kgの持つエネルギーである。冷媒循環量が $G$ (kg/h)のとき、冷房能力 $Q_e$ (kW)は次式のようなになる。

$$Q_e = G \cdot \Delta I_e \cdot \frac{1}{3600} \quad (1.1.4)$$

$G$  : 冷媒循環流量 (kg/h)

$\Delta I_e$  : 冷凍効果 (kJ/kg) ( $=H_4 - H_3$ )

$H_4$  : 蒸発器出口冷媒エンタルピー

(kJ/kg)

$H_3$  : 蒸発器入口冷媒エンタルピー

(kJ/kg)

したがって、能力は冷媒循環流量に比例し、冷凍効果 $\Delta I_e$ に比例するといえる。このうち、冷凍効果 $\Delta I_e$ は膨張弁および熱交換器の送風機の制御に依存し、圧縮機の制御目的は直接的には、冷房能力(冷凍能力)または暖房能力を制御することになる。

ここで、圧縮機の理論圧縮動力は、 $W_{comp,th}$  (kW) とすると図1.1.11より次式となる。

$$W_{comp,th} = G \cdot (H_1 - H_4) \cdot \frac{1}{3600} \quad (1.1.5)$$

$H_1$  : 吐出冷媒ガスエンタルピー (kJ/kg)

$H_4$  : 吸入冷媒ガスエンタルピー (kJ/kg)

したがって理論 $COP_{th}$ は次式となる。

$$COP_{th} = \frac{Q_e}{W_{comp,th}} = \frac{G \cdot (H_4 - H_3)}{G \cdot (H_1 - H_4)} = \frac{H_4 - H_3}{H_1 - H_4} \quad (1.1.6)$$

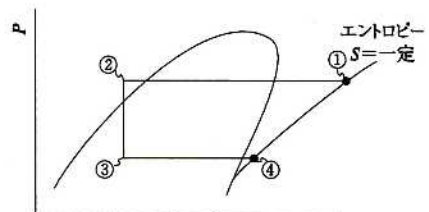


図1.1.11 能力  $H$